

**this draft only includes the distribution maps in the draft version,  
please check for the full text in final form in:  
*SHILAP Revta. lepid.*, 31(124): 329-354.**

Distribution maps from:

**Distribución actualizada de las especies de  
*Coenonympha* Hübner, [1819] y *Melanargia* Meigen,  
[1828] en la Península Ibérica (Nymphalidae:  
Satyrinae)**

H. Romo, E. García-Barros, P. Chaves, P. Garcia-Pereira & E. Maravalhas  
Depto. Biología, Univ. Autónoma de Madrid, E-28049 Madrid  
[helena.romo@uam.es](mailto:helena.romo@uam.es)

Figura 2. Mapas de distribución de *Melanargia ines* (Hoffmannsegg, 1804) (a), y *M. occitanica* (Esper, 1793) (b). Los círculos corresponden a cuadrículas de 50 Km. de lado en el sistema UTM (ver Fig. 1).

Figura 3. Mapas de distribución de *Melanargia russiae* (Esper, 1783) (a) y *M. galathea* (L., 1758) (b). Detalles como en Figs. 1 y 2.

Figura 4. Mapa de distribución de *Melanargia lachesis* (Hübner, 1790) (a). En (b) se muestra la distribución de los registros de *M. lachesis* (cuadros vacíos) y *M. galathea* (cuadros negros), con resolución de 10 x 10 Km., para destacar las cuadrículas que representan probables áreas de solapamiento de las distribuciones de estas dos especies (datos del sur de Francia de acuerdo con Essayan, 1990).

Figura 5. Mapas de distribución de *Coenonympha pamphilus* (L., 1758) (a) y *C. dorus* (Esper, [1782]) (b). Detalles como en Figs. 1 y 2.

Figura 6. Mapas de distribución de *Coenonympha arcania* (L., 1761) (a) y *C. glycerion* (Borkhausen, 1788) (b). Detalles como en Figs. 1 y 2.

fig. 2

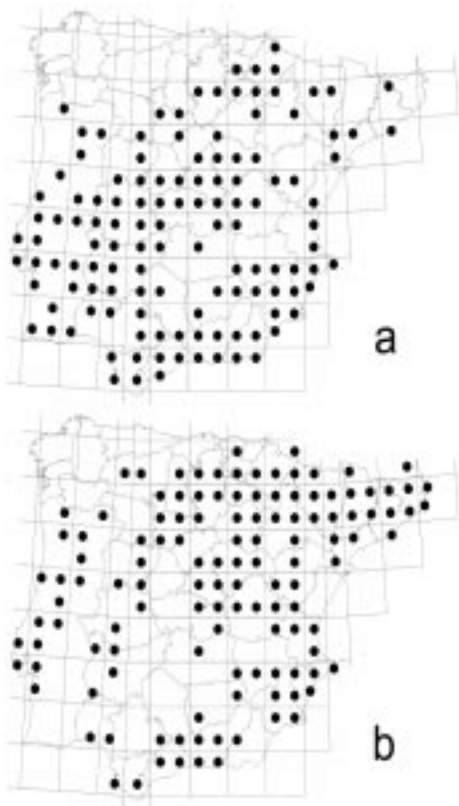


fig. 3

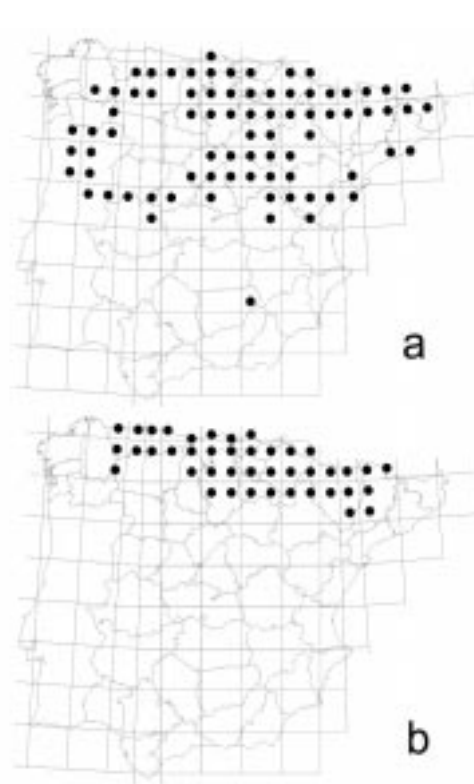


fig. 4

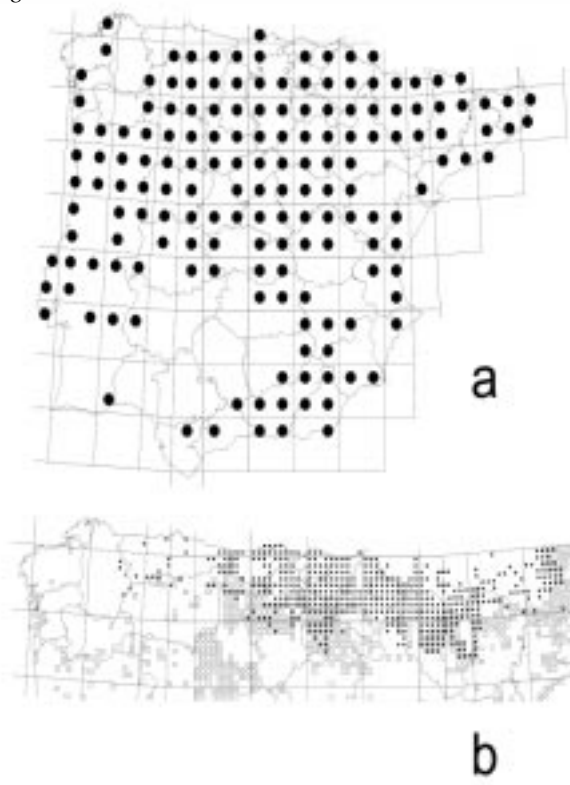


fig. 5

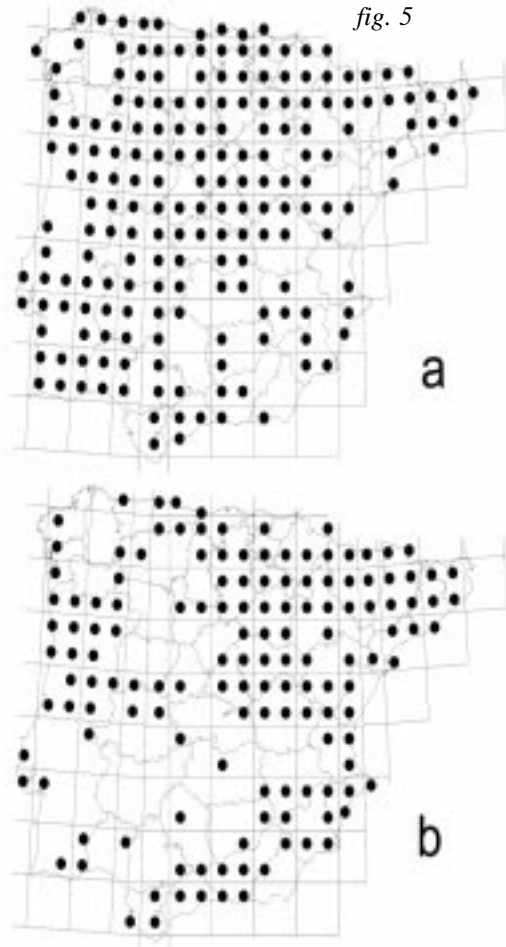
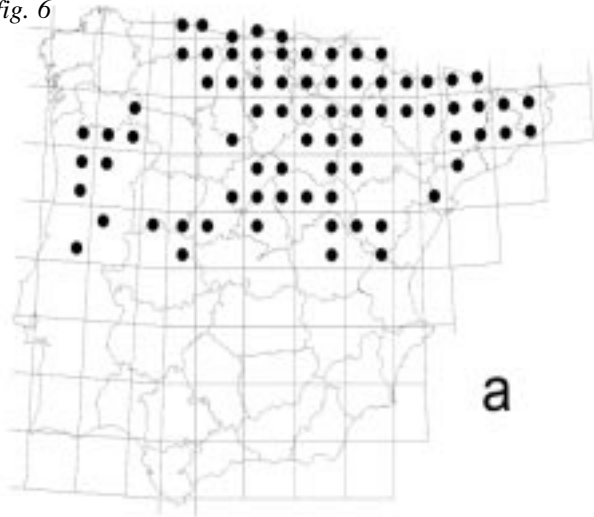
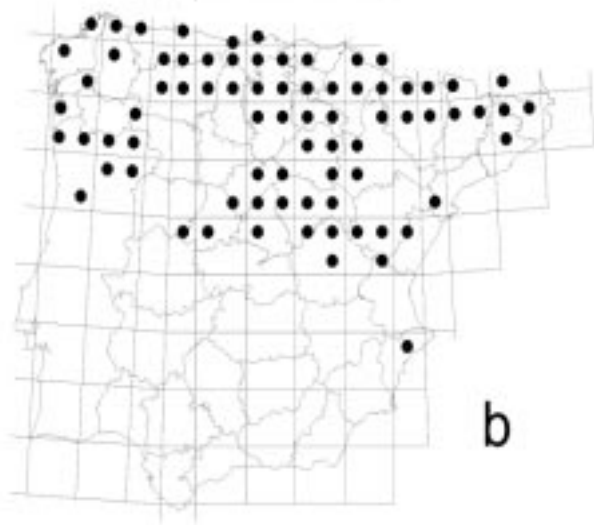


fig. 6



a



b